

بررسی‌های سنگ‌شناسی سنگ‌های آذرین مافیک و فلزیک پنجره زمین‌ساختی ترازوج – سوسهاب (شمال‌شرق هشجین – شمال‌غرب ایران)

علیرضا روان‌خواه^{۱*}، محسن مؤید^۲، غلامرضا احمدزاده^۱

۱- گروه زمین‌شناسی، دانشکده علوم، دانشگاه محقق اردبیلی، اردبیل

۲- گروه علوم زمین، دانشکده علوم طبیعی، دانشگاه تبریز، تبریز

(دریافت مقاله: ۹۸/۱۰/۷، نسخه نهایی: ۹۹/۱/۱۶)

چکیده: پنجره زمین‌ساختی ترازوج – سوسهاب در مرز بین روستاهای ترازوج و سوسهاب و در انتهای شمال‌شرق ورقه ۱:۱۰۰۰۰۰ هشجین واقع است. این منطقه بخشی از نوار ماقمایی ترشیری البرز غربی محسوب می‌شود. سنگ‌های آذرین مافیک شامل بازالت با دبی گدازه‌های بالشتی و توده‌های گابرویی بوده و سنگ‌های آذرین فلزیک شامل گرانیت و روانه‌های تراکیتی هستند. کانی‌های اصلی تشکیل دهنده سنگ‌های گابرویی و بازالتی شامل پلازیوکلاز، الیوین و کلینوپپروکسن بوده و کانی‌های اصلی تشکیل دهنده سنگ‌های گرانیتی شامل پلازیوکلاز، ارتوکلاز و کوارتر هستند و تراکیت‌ها بیشتر از پتانسیم فلدسپار تشکیل شده‌اند. ماقمای مولد سنگ‌های گابرویی و بازالتی دارای سرشت آهکی قلیایی و ماقمای مولد توده‌های گرانیتی و تراکیتی شوشونیتی است. بررسی نمودارهای عنکبوتی بهنجار شده نسبت به کندریت و گوشته اولیه در بازالت‌ها و گابروها نشانگر غنی‌شدگی عناصر خاکی نادر سبک (LREEs) نسبت به عناصر خاکی نادر سنگین (HREEs) است. غنی‌شدگی از عناصر سنگ دوست بزرگ یون (LILE) و LREE و تهی‌شدگی از HREE در این الگو می‌تواند نشانگر نرخ کم ذوب، گریزندگی بالای $\text{CO}_2/\text{H}_2\text{O}$ در محیط تشکیل ماقمای و یا عمق زیاد تشکیل ماقمای مولد بازالت و گابرو باشد. بررسی نمودارهای عنکبوتی بهنجار شده نسبت به کندریت و گرانیت‌ویدهای پشته میان اقیانوسی (ORG) در گرانیت‌ها و تراکیت‌ها نشانگر غنی‌شدگی LREEها و عناصر ناسازگار نسبت به HREE‌هاست. در این الگوها، تهی‌شدگی مشخصی از Eu (به ویژه در گرانیت‌ها) دیده می‌شود. سنگ‌های گابرویی و بازالتی در یک محیط اقیانوسی با گرایش به انواع بازالت‌های پشته‌های میان اقیانوسی نوع مورب غنی شده (E-MORB) قار دارند و گرانیت‌ها و تراکیت‌ها همراه با این مجموعه وابسته به گرانیت‌ویدهای غیرکوه‌زایی (نوع A) و زیر گروه A₁ هستند. این ویژگی‌ها نشان می‌دهد که رخنمون‌های مورد بررسی در پنجره زمین‌ساختی ترازوج – سوسهاب وابسته به ماقمایی کافی و گشایش باریکه اقیانوسی پالئوتیس (پالئوتیس دوم) در شمال‌غرب ایران هستند.

واژه‌های کلیدی: پالئوتیس؛ غنی‌شدگی؛ غیرکوه‌زایی؛ ترازوج–سوسهاب؛ هشجین.

مقدمه

کربونیفر و پرمین به همراه سنگ‌های آذرین با ترکیب بازالت با ساخت بالشی، گابرو و گرانیت است که در یک راستای شمال-غرب – جنوب‌شرق و با رخنمون عدی‌شکل دیده می‌شوند. مرز این سنگ‌ها با نهشته‌های کرتاسه و ائوسن گسله است و این گسله‌ها از نوع معکوس و راندگی هستند. این مجموعه افیولیتی محل زمیندرز پالئوتیس [۴-۱] در شمال ایران و به

پنجره زمین‌ساختی ترازوج – سوسهاب در انتهای شمال‌شرق ورقه ۱:۱۰۰۰۰۰ هشجین و در مرز بین روستاهای ترازوج و سوسهاب به مختصات جغرافیایی "۲۵° ۴۸' ۴۸° تا ۳۰° ۳۷' ۲۶' ۵۲" عرض شمالی واقع است. این پنجره زمین‌ساختی شامل نهشته‌های رسوی دوره

شیشه آواری‌های وابسته و با سرشت آهکی قلیابی با پتاسیم بالا تا شوشوئنیتی با دگرشیبی زاویه‌دار حدود ۲۳ درجه توسط سنگ‌های آتشفسانی الیگوسن و توفه‌های وابسته پوشیده شده‌اند [۱۱]. این مجموعه طی عملکرد فازهای فشاری پایانی پیرنه چین خورده است و توده‌های پهنه سطحی گرانیتوئیدی در هسته تاقدیس‌های استوانه‌ای ناشی از چین خوردگی و نیز پهنه‌های بزرگ گسلی جایگیری کرده‌اند [۱۱]. توده‌های گرانیتوئیدی در این ورقه ترکیبی در حد کوارتزمنزنونیت، مونزودیوریت و کوارتز مونزودیوریت دارند و از نوع I کرانه‌های فعال قاره‌ای هستند که در یک محیط قوس ماقمایی پس برخوردي تشکیل شده‌اند [۱۱]. قدیمی‌ترین نهشته‌ها در این منطقه شامل آهک‌های فسیل‌دار تیره رنگ و بیتومینه‌ای هستند که بر اساس محتوای فسیلی بازوپایان سپیریفر و مرجان‌های چهارتیغه‌ای به دوره کربونیفر نسبت داده شده و معادل سازند مبارک در البرز مرکزی هستند. این نهشته‌ها در مرز بین روستاهای ویو و نودی و در قالب ساختار گوه‌های راندگی داخل پوسته به درون لایه‌بندی کنگلومراي فجن به سن پالئوسن رانده شده‌اند [۱۱]. توده‌های آذرین مافیک و فلزیک مورد بررسی در این پژوهش به همراه مجموعه ماسه-سنگی کوارتزیتی وابسته به پالتوزوئیک (سازند دورود) در یک پنجره زمین‌ساختی رخنمون یافته‌اند به طوری که از شمال-شرق بر نهشته‌های کربناتی کرتاسه پسین و از جنوب‌غرب بر ماسه‌سنگ‌های کوارتزیتی رانده شده‌اند. مجموعه ماسه‌سنگی کوارتزیتی خود بر نهشته‌های کرتاسه پسین، سنگ‌های آتشفسانی الیگوسن و نهشته‌های تخریبی - تبخیری نفوذ رانده شده‌اند. همچنین در شمال‌غرب روستای ترازوج سنگ‌های آذرین مافیک در یک پنجه فرسایشی از زیر نهشته‌های پالئوسن- ائوسن (سازند زیارت) سر بر آورده‌اند. نهشته‌های تخریبی- تبخیری نفوذ در راستای گسله‌های راندگی بزرگ با راستای NW-SE رخنمون یافته‌اند و چین‌های در ارتباط با گسلش را نشان می‌دهند. به اعتقاد مovid [۱۱]، این نهشته‌ها در فروافتادگی‌های فشاری تشکیل شده‌اند و طی جنبش‌های اواخر میوسن- پلیوسن (فاز آستیرین یا آتیکن) دگریخت شده‌اند. توده‌های آذرین مافیک و فلزیک مورد بررسی در این منطقه شامل بازالت‌های با ساختار بالشی و توده‌ای، گابرو تا گابرو-دیوریت، گرانیت و تراکیت است که روانه‌های تراکیتی از این مجموعه برای نخستین بار در این پژوهش گزارش می‌شود. در شکل ۲ نمایی از منطقه مورد بررسی نشان داده شده است.

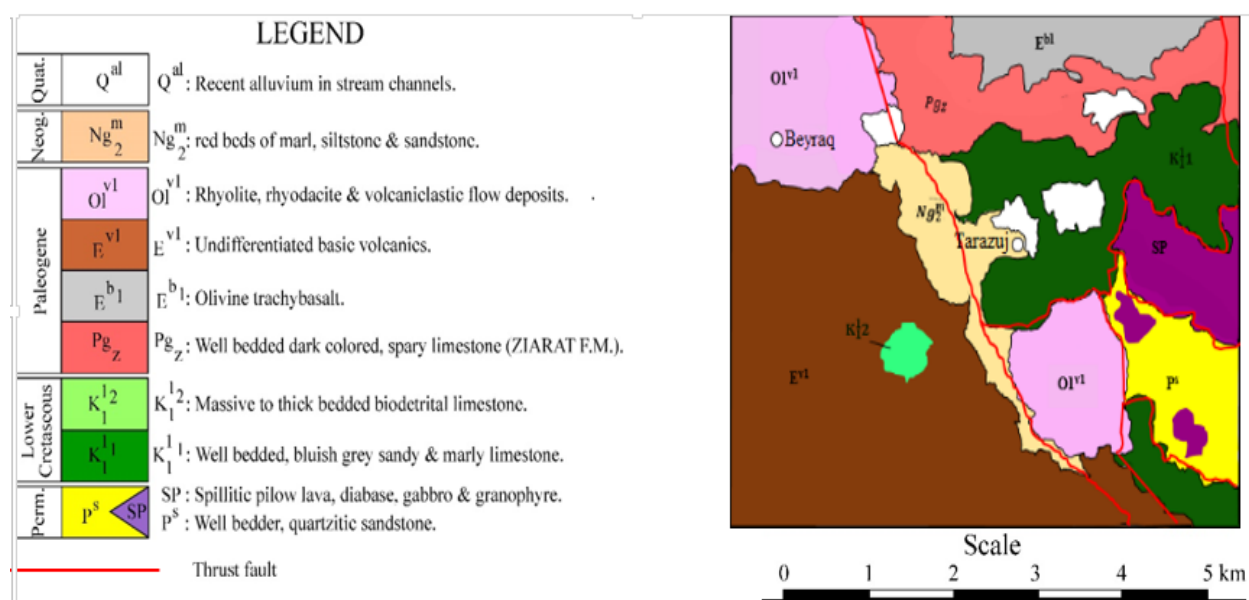
باور برخی پژوهشگران [۵،۶]، زمیندرز پالئوتیس دوم به سن سیمرین پیشین را مشخص می‌کند. این زمیندرز در شمال ایران زمین از منطقه مشهد شروع شده و در ادامه به مجموعه شیسته‌های گرگان و افیولیت‌های جنگل گلستان و گرگان رسیده و در البرز مرکزی به دلیل راندگی‌های پیاپی آثار آن پوشیده شده است [۵،۶]. در البرز غربی و در مناطق گشت و ماسوله، باز آثاری از مجموعه افیولیتی و سنگ‌های دگرگونی وابسته به فرورانش سنگ‌کره اقیانوسی پالئوتیس دوم و گرانیتوئیدهای همزمان و پس برخوردي پدیدار می‌شود که بارها توسط پژوهشگران داخل و خارج از کشور بررسی شده‌اند [۹-۷]. ادامه این زمیندرز به سوی غرب و شمال‌غرب همواره مورد سؤال بوده است و بررسی رخنمون‌های موجود در پنجره زمین‌ساختی ترازوج - سوسه‌های تواند ارتباط آنها با مجموعه افیولیتی مورد بحث را تعیین کند؛ این پژوهش در راستای پاسخ به این پرسش اساسی انجام شده است.

روش بررسی

در این پژوهش پس از عملیات صحرایی، از واحدهای مختلف سنگی نمونه‌برداری شد و پس از بررسی حدود ۶۰ مقطع نازک و انتخاب نمونه‌های مناسب، تعداد ۲۴ نمونه از واحدهای سنگی (۶ نمونه از هر واحد سنگی بازالت، گابرو تا گابرو-دیوریت، گرانیت و تراکیت) به روش طیف‌سنجی جرمی پلاسمای جفت شده القایی (ICP-MS) در شرکت مطالعات مواد معدنی زرآزمای برای دست‌یابی به عناصر کلیدی تجزیه شدند.

زمین‌شناسی

گستره مورد بررسی در منطقه‌بندی‌های زمین‌شناسی ایران بخشی از نوار ماقمایی ترشیری- کواترنری [۱۰] است. این نوار ماقمایی در شمال و شمال‌غرب ایران از منطقه قزوین تا سیه-رود قابل پیگیری بوده و در منطقه هشجین، بخش مرکزی را با یک روند شمال غربی-جنوب شرقی (NW-SE) بخود اختصاص داده است. در بخش شمال‌شرق ورقه هشجین، نهشته‌های پالتوزوئیک و مزوزوئیک بر نهشته‌های رسوی و آذرآواری- آتشفسانی سنوزوئیک رانده شده‌اند (شکل ۱). چین‌ها و گسله‌ها در بخش جنوبی ورقه دارای روند شرقی- غربی بوده، و در بخش مرکزی دارای روند NW-SE و در بخش شمال و شمال‌شرقی دارای روند شمال غربی-جنوب جنوب شرقی (NNW-SSE) هستند. فعالیت ماقمایی سنگ‌های آتشفسانی و آذرآواری ائوسن شامل فوران‌های بیشتر زیردریایی و در بردارنده گدازه‌های بازالتی تا آندزیت بازالتی و



شکل ۱ نقشه زمین‌شناسی منطقه مورد بررسی با مقیاس ۱:۲۰۰۰۰

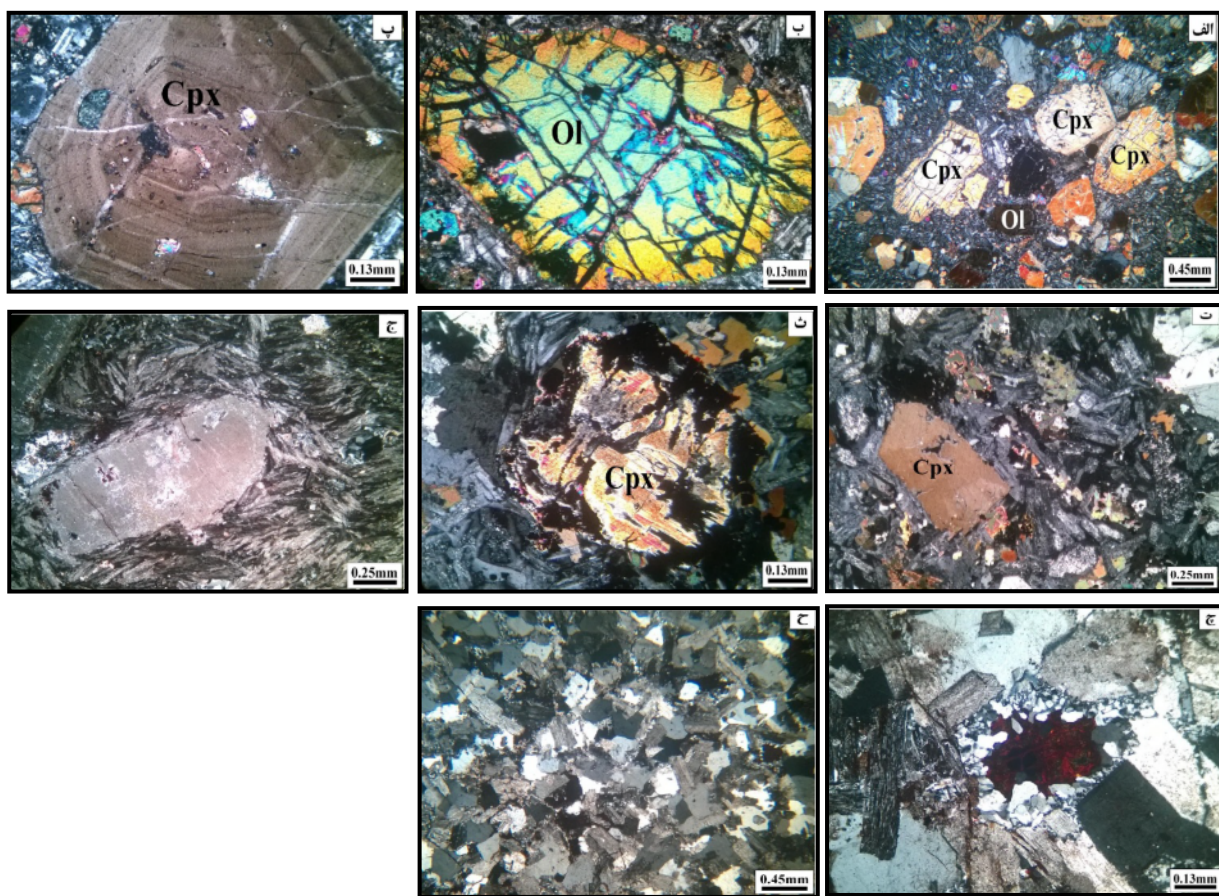


شکل ۲ دورنمایی از واحدهای رخنمون یافته در منطقه مورد بررسی: الف) دید به سمت شمال و ب) دید به سمت جنوب‌غرب

بلورهای پلاژیوکلاز موجود افزون بر تجزیه به سریسیت و پرهنیت، سوسوریتی نیز شده‌اند. بلورهای الیوین در این سنگ‌ها به سرپانتین و آنتوفیلیت در راستای شکستگی‌های بلوری تجزیه شده و توسط بلورهای دارای منطقه‌بندی کلینوپیروکسن احاطه شده‌اند. همچنین، بلورهای شکل‌دار الیوین دارای منطقه‌بندی نیز هستند (شکل ۳‌ب). در این سنگ‌ها، از انباست بلورهای کلینوپیروکسن بافت گلومروپورفیری و از میانبار الیوین در کلینوپیروکسن‌ها، بافت خال خال شکل گرفته است. درشت بلورهای شکل‌دار کلینوپیروکسن دارای منطقه‌بندی، ماکل ساعت شنی (شکل ۳‌پ) و نیز دارای بافت غربالی هستند. افزون بر این در بازالت‌ها، بلورهای ریز میکا در خمیره با بافت بین‌بلوری دیده می‌شوند.

سنگ‌نگاری
سنگ‌های رخنمون یافته در منطقه مورد بررسی شامل بازالت، گابرو تا گابرو-دیوریت، گرانیت و تراکیت است که ویژگی‌های میکروسکوپی آنها در زیر آمده است.

بازالت‌ها: کانی‌های اصلی تشکیل دهنده بازالت‌ها شامل درشت بلورهای شکل‌دار تا نیمه شکل‌دار پلاژیوکلاز (۴۵ تا ۵۰ درصد)، الیوین تجزیه شده (۱۰ تا ۱۵ درصد) و کلینوپیروکسن (۳۵ تا ۴۰ درصد) است (شکل ۳ الف). بافت غالب در آنها ریزسنگی تا شیشه‌ای ریزسنگی پورفیری است و بافت‌های فرعی گلومروپورفیری، خال خال، بادامی و حبابی نیز در آنها دیده می‌شوند. (بافت حبابی نوعی بافت حفره‌ای در سنگ‌های آتش‌فشاری است که حفره‌ها با دو یا چند ترکیب متفاوت پر شده باشند). این سنگ‌ها بشدت دگرسان شده‌اند و با فراوانی کلریت، اپیدوت و کربنات در مقاطع مشخص هستند. درشت



شکل ۳ الف: بافت ریزسنگی پورفیری و درشت بلورهای الیوین و کلینوپیروکسن در بازالت ($\times 25$, XPL), ب: درشت بلور شکل دار الیوین دارای منطقه‌بندی در بازالت ($\times 100$, XPL), پ: ماکل ساعت شنی و منطقه‌بندی در درشت بلور کلینوپیروکسن در بازالت ($\times 100$, XPL), ت: بافت دانه‌ای در گابرو-دیوریت با بلورهای کلینوپیروکسن و بیوتیت ($\times 40$, XPL), ث: بلور کلینوپیروکسن دگرسان به آنتوفیلیت و اورالیت در گابرو-دیوریت ($\times 100$, XPL), ج: انباشت کوارتز پیرامون کانی فرومیزین دگرسان به اکسید آهن در تراکیت ($\times 40$, XPL), ح: بافت ریزسنگی پورفیری جریانی در تراکیت ($\times 100$, XPL), خ) گرانیت با بافت دانه‌ای و کمبود کانی‌های فرومیزین ($\times 25$, XPL), د: برای نشانه‌های اختصاری کانی‌ها از مرجع [۱۲] استفاده شده است.

تراکیت: کانی اصلی تشکیل دهنده تراکیت‌ها فلدسپار پتاسیم است. بافت غالب در تراکیت‌ها ریزسنگی پورفیری جریانی (شکل ۳ج) و تراکیتی است. در این سنگ‌ها، انباشت کوارتز و کربنات‌های ناشی از دگرسانی قابل دیده است. در برخی از نمونه‌ها، کوارتزها و کربنات‌های برآمده از دگرسانی، خفره‌های موجود در تراکیت‌ها را پر کرده‌اند. در این سنگ‌ها، کانی‌های فرومیزین به کلریت و اکسید آهن دگرسان شده‌اند. همچنین انباشت کوارتز پیرامون کانی فرومیزین دگرسان به اکسید آهن نیز دیده می‌شود (شکل ۳ج).

گرانیت: گرانیت با کانی‌های اصلی شامل کوارتز و ارتوکلاز بهمراه پلاژیوکلاز و بیوتیت در این منطقه قابل شناسایی است. بافت غالب این سنگ‌ها دانه‌ای (شکل ۳ح) است.

گابرو تا گابرو-دیوریت: کانی‌های اصلی تشکیل دهنده گابرو-دیوریت‌ها شامل درشت بلورهای پلاژیوکلاز (۵۰ تا ۶۰ درصد) و کلینوپیروکسن (۴۵ تا ۵۰ درصد) هستند و بلورهای آمفیبول، بیوتیت و الیوین کانی‌های فرومیزین آنها را تشکیل می‌دهند. بافت غالب این سنگ‌ها دانه‌ای (شکل ۳ت) و پوست ماری است. پلاژیوکلازهای موجود در این سنگ‌ها در بخش مرکزی بشدت سوسوریتی شده‌اند. درشت بلورهای کلینوپیروکسن به آنتوفیلیت و اورالیت دگرسان شده‌اند (شکل ۳ث) و بصورت انباشتی قابل دیده هستند. بلورهای الیوین ایدنگسیتی شده و گاهی به سرپانتین و آنتوفیلیت دگرسان شده‌اند.

بحث و بررسی

براساس نمودارهای مرجع [۱۳]، نمونه‌های مورد بررسی در گستره بازالت و گابرو (شکل‌های ۴ الف و ب) و با توجه به نمودارهای مرجع [۱۴]، ترکیب نمونه‌های مورد بررسی گرانیت و تراکیت تعیین شده است (شکل‌های ۴ پ و ت).

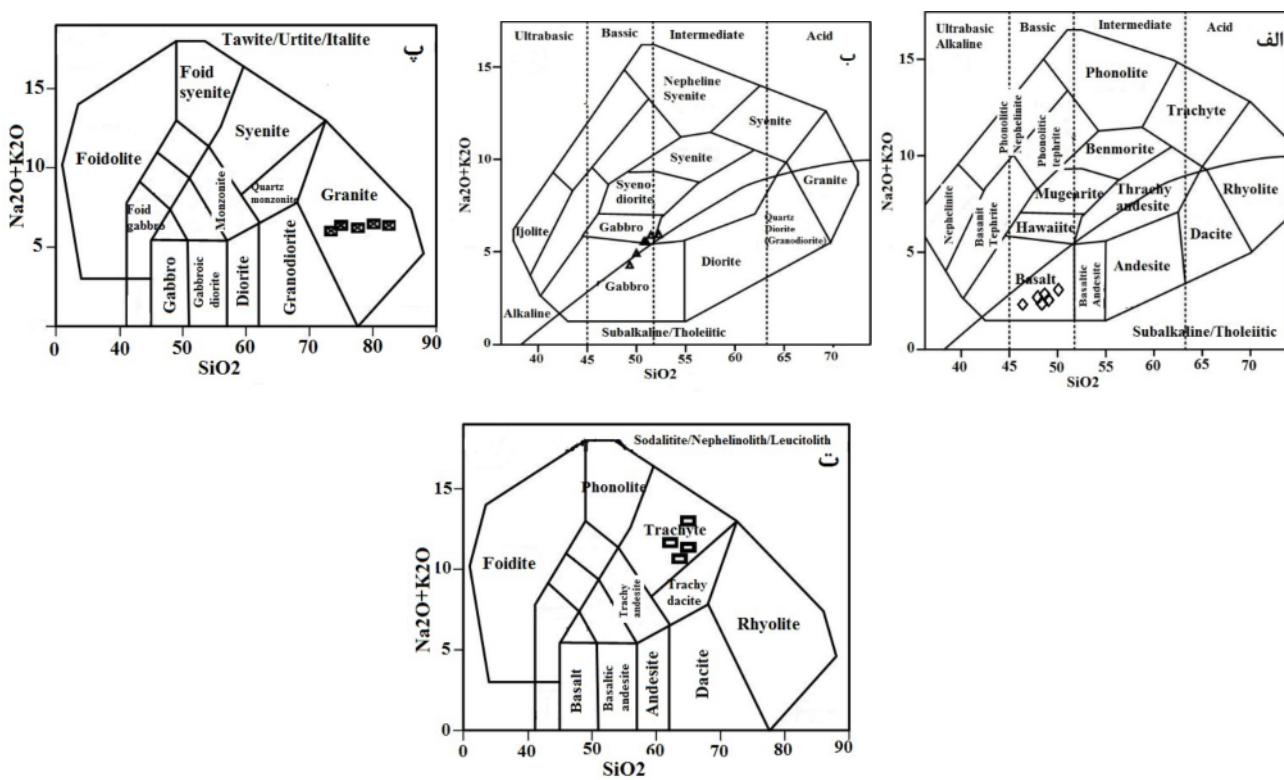
نتایج تجزیه شیمیائی ۲۴ نمونه از سنگ‌های منطقه قرار گرفتند که نتایج آنالیز نمونه‌های در جدول ۱ آورده شده است. برای رده‌بندی سنگ‌های منطقه از نمودار اکسیدهای عناصر اصلی (نمودار مجموع قلیایی‌ها نسبت به SiO_2) استفاده شد.

جدول ۱ نتایج تجزیه شیمیائی عناصر اصلی، کمیاب و خاکی نادر نمونه‌های بازالت (BAS) و گابرو (GAB)

نمونه	BAS-1	BAS-2	BAS-3	BAS-4	BAS-5	BAS-6	GAB-1	GAB-2	GAB-3	GAB-4	GAB-5	GAB-6
$\text{SiO}_2(\%)$	۴۸.۵۲	۴۸.۱۲	۴۷.۹۶	۴۶.۷۲	۴۹.۹۲	۴۸.۰۵	۵۱.۵	۵۱.۷	۵۲.۸۱	۵۰.۷۷	۵۲.۱۲	۴۹.۹۸
$\text{Al}_2\text{O}_3(\%)$	۱۱.۱۹	۱۱.۲۱	۱۱.۴۸	۱۱.۷۸	۱۱.۰۶	۱۱.۴۴	۱۶.۱۲	۱۶.۰۸	۱۵.۸۸	۱۶.۴۴	۱۵.۸۲	۱۶.۴۳
$\text{CaO}(\%)$	۱۰.۲۴	۱۰.۱۸	۱۰.۲۸	۱۰.۴۴	۹.۸۸	۱۰.۱۲	۸.۳۷	۸.۳۹	۸.۱	۹.۱۴	۸.۰۸	۹.۴۶
$\text{Fe}_2\text{O}_3(\%)$	۱.۰۱	۱.۰۱۲	۱.۰۱	۱.۰۹۹	۹.۴۴	۹.۸۸	۸.۰۵	۸.۶۱	۸.۱۲	۸.۹۹	۸.۰۵	۹.۹۴
$\text{K}_2\text{O}(\%)$	۱.۲۷	۱.۲۴	۱.۱۲	۱.۱۴	۱.۴۱	۱.۱۳	۲.۸۱	۲.۷۹	۲.۰۱	۲.۵۱	۲.۹۸	۲.۱۴
$\text{MgO}(\%)$	۱۴.۶۷	۱۴.۵۶	۱۴.۷۷	۱۴.۸۱	۱۳.۴۴	۱۴.۰۸	۵.۸۷	۵.۹۱	۵.۴۴	۵.۹۱	۵.۳۶	۶.۳۴
$\text{MnO}(\%)$	۰.۱۴	۰.۱۶	۰.۱۸	۰.۱۵	۰.۱۴	۰.۱۵	۰.۱۳	۰.۱۳	۰.۱۴	۰.۱۵	۰.۱۴	۰.۱۸
$\text{Na}_2\text{O}(\%)$	۱.۵۹	۱.۶۱	۱.۵۱	۱.۴۸	۱.۸۸	۱.۵۷	۲.۸۱	۲.۸۸	۲.۹۴	۲.۵۱	۳.۰۲	۲.۳۱
$\text{P}_2\text{O}_5(\%)$	۰.۳۶	۰.۲۷	۰.۲۹	۰.۳۲	۰.۲۴	۰.۲۵	۰.۳۵	۰.۳۶	۰.۳	۰.۴۱	۰.۳۲	۰.۳۹
$\text{TiO}_2(\%)$	۰.۸۲	۰.۹۱	۱.۰۲	۱.۱۲	۰.۸۱	۰.۷۸	۱.۰۱	۱.۰۳	۰.۹۸	۱.۱۴	۰.۹۲	۱.۱۹
L.O.I	۱.۱۲	۱.۴۲	۰.۶	۱.۱۵	۱.۸	۱.۹۵	۱.۸۸	۱.۹	۱.۹۸	۱.۷۵	۲.۱۵	۱.۴
Ag(ppm)	۰.۷	۰.۷	۰.۹	۰.۸	۰.۶	۰.۷	۲.۳	۲.۴	۲.۸	۲.۱	۲.۲	۲.۴
As(ppm)	۶.۶	۶.۳	۵.۸	۶.۴	۷.۱	۶.۴	۱۲.۱	۱۲.۳	۱۳.۱	۱۱.۷	۱۴.۶	۱۲.۴
Ba(ppm)	۴۳۱	۴۳۹	۴۱۲	۴۰.۲	۴۴۶	۴۳۴	۸.۰	۸.۱۵	۹.۱۲	۷۴۶	۸۸۵	۷۹۶
Be(ppm)	۱.۲	۱.۲	۱.۳	۱.۶	۱.۴	۱.۲	۱.۷	۱.۷	۱.۶	۱.۳	۱.۹	۱.۶
Bi(ppm)	۰.۲	۰.۲	۰.۳	۰.۴	۰.۲	۰.۳	۰.۳	۰.۳	۰.۲	۰.۲	۰.۴	۰.۳
Cd(ppm)	<۰.۱	<۰.۱	۰.۲	۰.۱	۰.۳	<۰.۱	<۰.۱	۰.۲	۰.۲	<۰.۱	۰.۲	<۰.۱
Ce(ppm)	۳.۵	۳.۶	۳.۴	۳.۱	۳.۹	۳.۳	۴.۱	۴.۳	۵.۴	۶.۲	۴.۴	۳.۹
Co(ppm)	۴۲.۱	۴۴.۲	۴۷.۶	۴۹.۲	۴۱.۴	۴۲.۷	۲۸.۵	۲۹.۱	۲۵.۶	۲۹.۶	۲۶.۲	۳۰.۷
Cr(ppm)	۵۷.۱	۵۷.۷	۵۸.۲	۵۹.۴	۵۶.۲	۵۶.۹	۸.۵	۸.۶	۷.۷	۹.۱	۸.۴	۹.۹
Cs(ppm)	۳.۳	۳.۲	۳.۱	۲.۸	۳.۴	۳.۲	۱.۳	۱.۲	۱.۴	۱.۱	۱.۵	۰.۹
Cu(ppm)	۶.۳	۶.۷	۷.۴	۹.۴	۶.۱	۵.۸	۷.۹	۸.۱	۷.۸	۹.۲	۸.۸	۷.۴
Dy(ppm)	۳۸.۵	۳۷.۹	۳۶.۷	۳۵.۲	۳۹.۲	۳۷.۷	۳.۸۱	۳.۸۷	۳.۹۱	۳.۸۱	۳.۸۷	۳.۵۱
Er(ppm)	۱.۷۶	۱.۸۱	۱.۶۲	۱.۵۸	۱.۹۸	۱.۷۹	۱.۸۲	۱.۸۴	۱.۹۱	۲.۰۴	۱.۸۸	۱.۸۲
Eu(ppm)	۱.۱۵	۱.۲۴	۱.۳۷	۱.۴۶	۱.۱۴	۱.۲۱	۲.۲۳	۲.۲۶	۲.۴۱	۲.۵۱	۲.۳۹	۲.۱۲
Gd(ppm)	۳.۵۵	۳.۶۱	۳.۴۱	۳.۲۳	۳.۹۴	۳.۶۲	۳.۷	۳.۷۶	۳.۹۴	۴.۰۱	۳.۷۹	۳.۵۱
Hf(ppm)	۱.۶۸	۱.۷۱	۱.۵۴	۱.۴۷	۲.۱۴	۱.۸۲	۲.۱۲	۲.۱۴	۲.۶۸	۲.۹۴	۲.۱۴	۲.۰۲
In(ppm)	<۰.۵	<۰.۵	<۰.۵	<۰.۵	<۰.۵	<۰.۵	<۰.۵	<۰.۵	<۰.۵	<۰.۵	<۰.۵	<۰.۵
La(ppm)	۱.۵	۱.۶	۱.۷	۱.۸	۲.۱	۱.۷	۱.۹	۱.۸	۲.۱	۲.۵	۲.۰	۱.۶
Li(ppm)	۱.۸	۱.۷	۱.۹	۲.۱	۱.۷	۱.۸	۲.۹	۲.۸	۲.۴	۲.۰	۲.۶	۳.۱
Lu(ppm)	۰.۳۲	۰.۲۴	۰.۲۱	۰.۱۹	۰.۲۲	۰.۲۴	۰.۲۷	۰.۲۶	۰.۲۹	۰.۳۱	۰.۲۸	۰.۲۱
Mo(ppm)	۰.۶	۰.۵	۰.۴	۰.۵	۰.۸	۰.۶	۲.۶	۲.۳	۲.۷	۲.۹	۲.۴	۱/۲
Nb(ppm)	۶.۶	۶.۵	۶.۲	۵.۸	۷.۲	۶.۸	۹.۱	۹.۳	۱۱.۲	۱۳.۴	۱۴.۲	۸.۴
Nd(ppm)	۱۵.۸	۱۵.۶	۱۴.۷	۱۴.۱	۱۶.۸	۱۵.۹	۱۷.۱۳	۱۷.۱۶	۱۹.۱	۱۹.۸۲	۲۱.۱۴	۱۶.۳۲
Ni(ppm)	۲۸.۲	۲۸.۸	۲۹.۱	۲۹.۸	۲۶.۲	۲۸.۱	۳.۶	۳.۷	۲.۷	۲.۶	۲.۷	۴.۲
Pb(ppm)	۶.۵	۶.۶	۶.۱	۵.۸	۷.۴	۶.۴	۷.۷	۷.۹	۸.۱	۸.۴	۷.۵	۶.۴
Pr(ppm)	۴۵.۲	۴۵.۸	۴۲.۱	۴۱.۲	۴۶.۱	۴۶.۱	۴.۱۱	۴.۱۴	۵.۰۶	۵.۱۴	۴.۷۱	۴.۶۹
Rb(ppm)	۲.۶	۲.۷	۲.۵	۲.۴	۲.۹	۲.۸	۵.۲	۵.۵	۶.۱	۶.۶	۵.۸	۴.۴
Sd(ppm)	۱۱.۸	۱۲.۱	۱۲.۴	۱۴.۱	۱۰.۸	۱۱.۲	۱۰.۰۱	۱۱.۲۶	۹.۸۲	۷۶.۳	۹۹.۸	۱۲۴۱
Sb(ppm)	<۰.۵	<۰.۵	۰.۷	۰.۶	<۰.۵	۰.۶	۰.۷	۰.۸	۰.۹	۰.۸	۰.۷	۰.۸
Sc(ppm)	۴۰.۹	۴۰.۷	۴۲.۷	۴۵.۱	۴۰.۲	۴۱.۲	۲۵.۱	۲۵.۴	۲۳.۶	۲۲.۴	۲۴.۸	۲۹.۱
Se(ppm)	۱	۱.۰۲	۰.۹۴	۰.۸۱	۱.۰۶	۱.۰۴	۱.۰۴	۱.۰۶	۱.۱۴	۱.۲۷	۱.۱۲	۰.۹۸
Sm(ppm)	۳۰.۴	۳۱.۵	۳۴.۴	۳۲.۸	۳۱.۸	۳۶.۱	۵.۱۴	۵.۱۲	۵.۸۱	۶.۱۴	۵.۲۱	۴.۸۲
Sn(ppm)	۰.۹	۰.۸	۰.۷	۰.۹	۰.۹	۱.۱	۱	۱.۳	۱.۴	۱.۲	۱	۱
Sr(ppm)	۴۹۴.۳	۴۹۶.۱	۴۵۰.۲	۴۵۰.۴	۴۸۶.۲	۴۹۱.۴	۸۴۰.۱	۸۴۴.۲	۸۱۲	۸۱۰.۲	۷۹۹.۶	۸۹۴.۶
Ta(ppm)	۰.۷۲	۰.۷۳	۰.۶۷	۰.۶۲	۰.۸۴	۰.۷۷	۰.۹۳	۰.۹۶	۰.۹۹	۱.۰۸	۱.۰۲	۰.۹۱
Tb(ppm)	۰.۵۵	۰.۵۶	۰.۵۱	۰.۴۹	۰.۶۷	۰.۶۱	۰.۵۷	۰.۵۶	۰.۵۹	۰.۸۱	۰.۶۵	۰.۴۴
Tc(ppm)	۱.۴۶	۱.۴۵	۱.۰۵	۱.۶۸	۱.۳۱	۱.۴۲	۰.۴۷	۰.۴۷	۰.۵۱	۰.۴۹	۰.۴۸	۰.۴۱
Th(ppm)	۲.۷۶	۲.۷۶	۲.۳۷	۲.۱۲	۲.۸۹	۲.۷۱	۳.۵۴	۳.۶۱	۳.۷۷	۳.۹۱	۳.۵۱	۲.۲۱
Ti(ppm)	۴۹۳۶	۴۹۷۷	۵۱۴۵	۴۳۷۱	۴۸۱۲	۴۹۱۴	۵۹۹۸	۵۹۹۴	۵۷۲۰	۵۲۱۴	۵۷۱۴	۶۲۱۷
Tl(ppm)	<۰.۱	۰.۱۴	۰.۱۱	۰.۱۳	۰.۱۳	۰.۱۱	۰.۱۸	۰.۱۷	۰.۱۵	۰.۱۲	۰.۱۶	۰.۳۱
Tm(ppm)	۰.۳۶	۰.۲۷	۰.۲۲	۰.۲۱	۰.۲۹	۰.۲۷	۰.۲۷	۰.۲۷	۰.۲۶	۰.۳۱	۰.۲۹	۰.۱۹
U(ppm)	۰.۹	۰.۹	۰.۸	۰.۶	۰.۸	۰.۹	۰.۹	۰.۸	۰.۹	۱.۱	۰.۸	۰.۶
V(ppm)	۱۹۷	۱۹۹	۲۰.۱	۲۱۴	۱۸۹	۱۹۴	۲۱۲	۲۱۴	۲۰.۸	۱۹۴	۲۰.۲	۲۳۹
W(ppm)	۱.۱	۱.۲	۰.۸	۰.۷	۱.۳	۱.۱	۱	۱.۱	۱.۲	۱.۴	۱	۰.۷
Y(ppm)	۱۵.۹	۱۵.۸	۱۴.۱۲	۱۳.۱۸	۱۶.۹۱	۱۵.۸	۱۶.۰	۱۶.۷	۱۷.۲	۱۹.۴	۱۶.۸	۱۴.۷
Yb(ppm)	۲.۴	۲.۳	۲.۱	۱.۸	۳.۲	۲.۳	۲.۷	۲.۶	۲.۹	۳.۴	۲.۸	۲.۵
Zn(ppm)	۸.۵	۸.۸	۷.۱	۷.۲	۹.۴	۸.۴	۱۰.۳	۱۰.۵	۱۶.۱	۱۷.۲	۱۵.۸	۱۴.۴
Zr(ppm)	۶.۲	۶.۳	۶.۰	۵.۷	۷.۴	۶.۴	۸.۰	۸.۱	۸.۴	۸.۹	۸.۲	۷.۴
Ga(ppm)	۱۴.۱۳	۱۵.۱۲	۱۲.۱۱	۱۷.۱۴	۱۳.۶۱	۱۰.۷۲	۱۳.۸۱	۱۴.۱۴	۱۱.۱۷	۱۴.۱۷	۱۵.۱۴	

ادامه جدول ۱ نتایج تجزیه شیمیایی عناصر اصلی، کمیاب و خاکی نادر نمونه‌های گرانیت (GNT) و تراکیت (TRC).

نمونه	GNT-1	GNT-2	GNT-3	GNT-4	GNT-5	GNT-6	TRC-1	TRC-2	TRC-3	TRC-4	TRC-5	TRC-6
SiO ₂ (%)	74.94	73.81	71.26	72.77	70.82	71.24	62.46	63.48	61.84	63.98	62.94	62.74
Al ₂ O ₃ (%)	10.87	11.82	13.88	12.91	14.01	13.49	16.82	16.68	16.91	16.62	16.98	16.71
CaO(%)	0.18	0.12	0.21	0.14	0.42	0.31	0.76	0.71	0.92	0.81	0.9	0.98
Fe ₂ O ₃ (%)	4.99	4.95	5.36	5.15	5.77	5.46	5.85	6.43	6.98	5.88	5.77	6.44
K ₂ O(%)	1.61	1.82	1.94	1.88	2.14	1.96	4.81	4.88	4.83	4.92	4.71	4.42
MgO(%)	0.14	0.18	0.24	0.21	0.37	0.31	0.16	0.18	0.22	0.19	0.21	0.22
MnO(%)	0.11	0.11	0.12	0.13	0.21	0.12	0.13	0.14	0.12	0.13	0.12	0.16
Na ₂ O(%)	4.98	4.82	4.52	4.61	4.12	4.05	5.85	5.86	5.92	6.98	5.9	5.88
P ₂ O ₅ (%)	0.2	0.3	0.7	0.8	0.14	0.11	0.05	0.06	0.18	0.06	0.09	0.09
TiO ₂ (%)	0.1	0.12	0.14	0.13	0.18	0.14	0.22	0.26	0.39	0.28	0.3	0.28
L.O.I	1.88	1.92	1.99	1.68	1.74	1.85	2.01	1.36	1.88	0.92	1.8	1.92
Ag(ppm)	3.8	3.2	3.6	2.8	3.1	3.3	2.2	2.1	2.4	2.4	2.2	1.8
As(ppm)	0.2	0.3	0.2	0.8	0.8	4.8	3.8	3.6	3.9	3.7	3.9	1.4
Ba(ppm)	19.00	19.50	18.60	18.80	18.00	18.40	13.00	13.40	13.80	13.95	13.60	13.65
Be(ppm)	9.2	9.1	9.4	8.2	7.9	8.4	3.4	3.6	3.1	3.7	3.2	2.8
Bi(ppm)	0.4	0.4	0.5	0.3	0.4	0.5	0.3	0.3	0.2	0.4	0.3	0.4
Cd(ppm)	<0.1	<0.1	0.12	0.16	<0.1	<0.1	<0.1	0.12	0.12	0.13	<0.1	<0.1
Ce(ppm)	3.77	3.62	3.26	3.45	3.16	3.35	1.50	1.59	1.42	1.58	1.49	1.51
Co(ppm)	1.9	1.8	1.4	1.6	1.8	2.1	2	1.8	2.2	1.6	1.9	2.1
Cr(ppm)	14.2	14.4	15.1	14.7	16.2	15.3	3.5	3.3	3.9	3.3	3.7	3.6
Cs(ppm)	0.6	0.6	0.7	0.6	0.4	0.5	0.8	0.9	0.7	0.9	0.8	0.8
Cu(ppm)	9.8	9.5	10.2	9.9	10.2	11.2	1.7	1.9	2.1	1.5	1.8	1.7
Dy(ppm)	16.72	16.52	16.23	16.48	16.02	16.44	9.1	9.94	9.44	9.95	9.72	9.77
Er(ppm)	8.01	8.06	7.77	8.16	7.42	7.88	4.42	4.44	4.12	4.51	4.49	4.38
Eu(ppm)	2.77	2.50	2.71	2.44	2.12	2.22	1.59	1.64	1.33	1.67	1.55	1.61
Gd(ppm)	26.19	25.17	22.12	25.97	22.07	22.32	2.13	2.24	2.14	2.21	2.14	2.16
Ga(ppm)	28.61	29.12	24.16	29.14	30.6	28.44	24.71	22.52	23.14	24.61	22.62	21.74
Hf(ppm)	21.42	20.82	19.18	20.12	18.71	19.24	11.09	12.48	10.36	12.54	11.24	11.32
In(ppm)	<0.5	<0.5	<0.5	<0.5	<0.5	<0.5	<0.5	<0.5	<0.5	<0.5	<0.5	<0.5
La(ppm)	19.2	18.6	17.4	18.2	16.2	17.5	7.6	7.9	7.1	8.2	7.7	7.5
Li(ppm)	0.2	0.6	4.8	0.4	7.1	6.2	3.4	3.1	3.6	3.2	3.3	3.6
Lu(ppm)	0.95	0.91	0.83	0.9	0.78	0.88	0.46	0.51	0.41	0.45	0.47	0.46
Mo(ppm)	1	1.2	1.4	1.1	1.7	1.3	1.6	1.5	1.9	1.7	1.4	1.8
Nb(ppm)	21.09	21.18	20.61	20.92	19.28	20.96	11.31	11.28	10.96	12.01	11.42	11.58
Nd(ppm)	18.45	18.38	17.6	18.52	17.96	18.14	7.88	7.79	6.95	8.04	7.95	7.86
Ni(ppm)	3	3	5	3	4	3	3	3	4	3	4	4
Pb(ppm)	3.4	3.5	3.1	3.3	2.9	3.4	2.4	2.3	2.1	2.3	2.5	2.4
Pr(ppm)	46.96	46.44	39.41	45.14	37.81	44.14	19.82	19.72	17.14	20.14	19.88	19.95
Rb(ppm)	3.5	3.7	3.3	3.6	3.7	4.1	9.4	9.7	8.4	10.2	9.6	9.2
S(ppm)	2.55	2.51	2.21	2.58	2.17	2.24	1.19	1.17	1.29	1.14	1.18	1.19
Sb(ppm)	0.9	0.9	0.8	0.6	0.9	0.8	0.9	0.9	0.7	0.6	0.9	0.8
Sc(ppm)	<0.5	<0.5	<0.5	<0.5	<0.5	<0.5	<0.5	<0.5	<0.5	<0.5	<0.5	<0.5
Se(ppm)	2.94	2.99	2.21	2.88	2.14	2.79	1.97	1.83	1.42	1.07	1.84	1.86
Sm(ppm)	35.09	34.71	29.81	34.71	28.62	34.31	15.07	15.19	14.13	15.81	15.09	14.78
Sn(ppm)	21.6	21.8	17.8	20.9	16.2	22.7	8.8	8.4	6.7	8.3	7.9	8.2
Sr(ppm)	34.9	33.8	39.7	32.9	41.7	35.2	26.9	27.2	29.6	25.3	28.4	27.2
Ta(ppm)	15.03	15.14	13.11	14.82	12.81	14.92	7.25	7.16	6.2	8.14	7.38	7.42
Tb(ppm)	3.24	3.16	2.74	3.12	2.52	3.21	1.66	1.57	1.34	1.69	1.59	1.61
Te(ppm)	0.42	0.44	0.32	0.47	0.31	0.45	0.18	0.19	0.14	0.17	0.18	0.18
Th(ppm)	18.78	18.62	13.41	17.14	12.14	18.12	8.56	8.44	7.42	9.14	8.14	8.88
Ti(ppm)	57.77	57.9	71.4	56.9	74.5	57.2	19.27	19.36	20.14	19.18	19.81	19.51
Tl(ppm)	0.12	0.13	0.14	0.12	0.13	0.14	0.34	0.34	0.44	0.33	0.34	0.35
Tm(ppm)	1.13	1.14	0.98	1.14	0.84	1.21	0.59	0.54	0.41	0.58	0.61	0.57
U(ppm)	3.2	3.4	2.1	3.3	1.8	3.4	1.0	1.4	1.1	1.7	1.3	1.4
V(ppm)	8	8	13	9	14	8	12	13	17	14	13	15
W(ppm)	2.7	2.6	1.9	2.5	1.6	2.7	1.6	1.5	1.2	1.7	1.6	1.8
Y(ppm)	69.8	68.7	61.4	68.4	60.4	67.9	15.2	15.3	14.2	15.8	15.1	14.9
Yb(ppm)	9.5	9.4	7.2	9.6	7.1	9.4	1.1	1.2	0.8	1.4	1.2	1.3
Zn(ppm)	13.9	13.5	11.4	12.8	10.9	12.2	0.4	0.3	0.1	0.5	0.5	0.5
Zr(ppm)	37.15	37.1	29.1	37.7	28.1	37.7	11.32	11.41	10.82	11.06	11.38	11.45

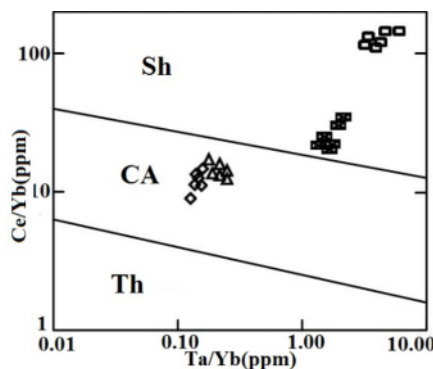


شکل ۴ الف و ب) نمودارهای مجموع قلیایی‌ها نسبت به SiO_2 و جایگاه نمونه‌های مورد بررسی بر آن‌ها، [۱۳] پ و ت) نمودارهای مجموع قلیایی-ها نسبت به SiO_2 و جایگاه نمونه‌های مورد بررسی بر آن‌ها، [۱۴] (بازال، گابرو، گرانیت و تراکیت)

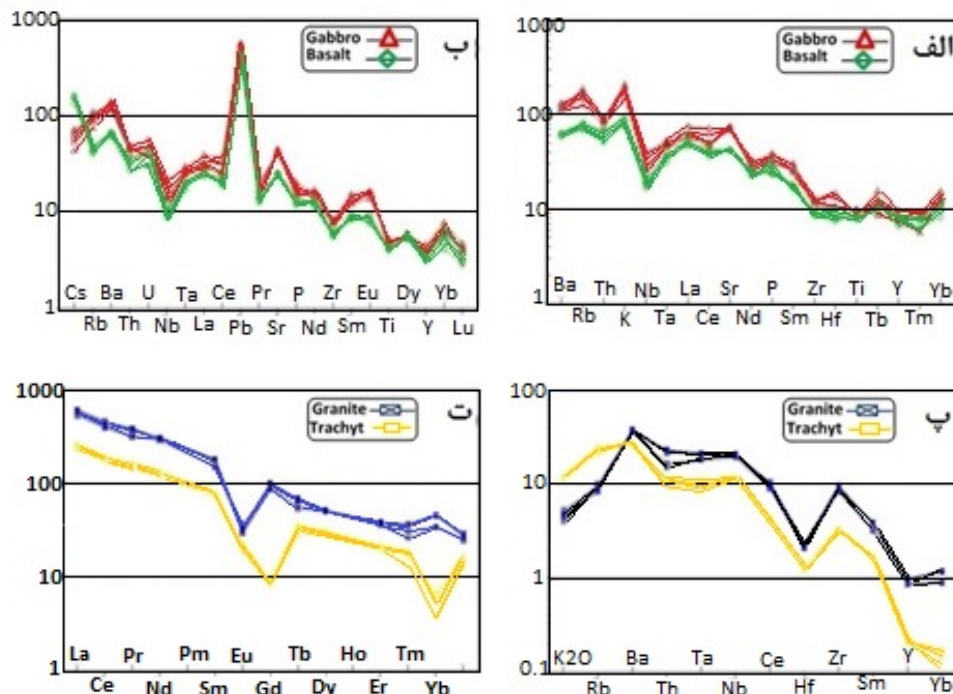
(LILE) و LREE‌ها و تهی‌شدگی از HREE‌ها در این الگو می‌تواند نشانگر نرخ کم ذوب، گریزندگی بالای $\text{CO}_2/\text{H}_2\text{O}$ در محیط تشکیل مagma و یا عمق زیاد تشکیل magma مولد بازالت و گابرو باشد. ناهنجاری مثبت Pb به آلایش magma با پوسته قاره‌ای [۱۸-۱۹] اشاره دارد. به عقیده سیرواستار و همکارش [۲۰] غنی‌شدگی بیشتر LREE‌ها و ناهنجاری مثبت Pb ممکن است ناشی از عملکرد دو فرآیند باشد: ۱- الودگی پوسته‌ای و ۲- ذوب بخشی گوشته غنی شده طی فرآیند دگرنهادی در اثر سیال یا مذاب ناشی از صفحه فرورانده شده. بالا بودن مقدار LILE‌ها و LREE‌ها بیانگر دگرنهاده شدن گوشته غنی شده است، بنابراین گوشته دگرنهاده می‌تواند منبع سنگ‌های بازالتی و گابرو باشد. غنی‌شدگی از LREE‌ها نسبت به HREE‌ها توسط نسبت‌های $(\text{La}/\text{Sm})_{\text{N}}$ و $(\text{La}/\text{Yb})_{\text{N}}$ قابل تشخیص است. میانگین نسبت $(\text{La}/\text{Sm})_{\text{N}}$ در بازالت‌ها ۴,۸۵ و در گابروها ۳,۶۷ و میانگین نسبت $(\text{La}/\text{Yb})_{\text{N}}$ در بازالت‌ها ۷,۵۴ و در گابروها ۷,۱۴ است که بیانگر غنی‌شدگی از LREE‌ها نسبت به HREE‌ها در نمونه‌های مورد بررسی است. ناهنجاری مثبت Cs, Ba و K در سنگ‌های مورد بررسی می‌تواند نشانگر کاهش ذوب بخشی کم باشد.

تعیین سری ماقمایی سنگ‌های آذرین از مهم‌ترین موضوع‌ها در بررسی‌های سنگ‌شناسی سنگ‌های آذرین هر منطقه و تعیین محیط زمین‌ساختی آنهاست. همچنین نوع سری ماقمایی سازنده سنگ‌ها می‌تواند در حل مسائل سنگ‌سازی و بويژه جایگاه زمین دینامیکی منطقه مورد بررسی کلیدی باشد. براساس نمودار $\text{Ce}/\text{Yb}-\text{Ta}/\text{Yb}$ [۱۵]، ماقمای مولد بازالت‌ها و گابروها دارای سرشت آهکی قلیایی است و نمونه‌های مربوط به گرانیت‌ها و تراکیت‌ها دارای ماهیت شوشوئی هستند (شکل ۵).

برای ارزیابی فراوانی و نسبت بین عناصر کمیاب و مقایسه آن با سنگ‌های مشابه به منظور آگاهی از جایگاه تشکیل سنگ‌های آذرین منطقه مورد بررسی، نمودار عنکبوتی بهنجار شده نسبت به کندریت و گوشته اولیه برای این سنگ‌ها رسم شده است. بررسی روند تعییرات میانگین عناصر کمیاب بر اساس نمودارهای عنکبوتی بهنجار شده نسبت به کندریت [۱۶] و گوشته اولیه [۱۷] در بازالت‌ها و گابروها نشانگر غنی‌شدگی عناصر خاکی نادر سبک (LREE) و عناصر ناسازگار نسبت به عناصر خاکی نادر سنگین (HREE) است (شکل ۶ الف و ب). غنی‌شدگی از عناصر سنگ دوست بزرگ یون



شکل ۵ نمودار Ce/Yb نسبت به Ta/Yb و جایگاه نمونه‌های مورد بررسی بر آن، [۱۵] نشانه‌ها مانند شکل ۴.



شکل ۶ (أ) نمودار عنکبوتی بازالت‌ها و گابروها بهنجار شده با گوشت اولیه [۱۶]، (ب) نمودار عنکبوتی بهنجار شده نسبت به کندریت [۱۷]، (پ) نمودار عنکبوتی گرانیت‌ها و تراکیت‌ها بهنجار شده با ORG [۲۲] و (ت) نمودار عنکبوتی گرانیت‌ها و تراکیت‌ها بهنجار شده با کندریت عناصر خاکی نادر، [۲۱].

ناهنجاری مثبت و مشخصی از LILE‌ها ($\text{Rb}, \text{Ba}, \text{K}$) را می-توان به نرخ پایین ذوب‌بخشی، خاستگاه گوشه‌های غنی شده و آلایش با مواد پوسته‌ای نسبت داد. غنی شدگی از عناصر Ba, K می‌تواند بازتابی از دلالت پوسته قاره‌ای در تشکیل مagma و یا پدیده هضم و آمیختگی magma برآمده از ذوب پوسته با magma گوشه‌ای باشد. دلیل تهی شدگی عنصر Gd در تراکیت‌ها کمبود کانی‌های فرومیزین و به ویژه آمفیبول در این سنگ‌هاست.

با مقایسه داده‌های سنگ‌نگاری و زمین شیمیایی سنگ‌های منطقه با ویژگی‌های سنگ‌نگاری و زمین شیمیایی انواع مختلف

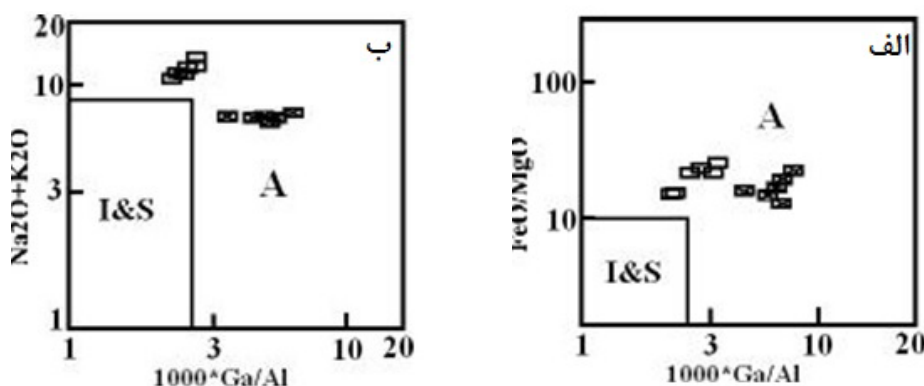
بررسی روند تغییرات میانگین عناصر کمیاب بر اساس نمودارهای عنکبوتی بهنجار شده نسبت به کندریت [۲۱] و ORG [۲۲] در گرانیت‌ها و تراکیت‌ها نشانگر غنی شدگی HREE‌ها و عناصر ناسازگار نسبت به LREE‌ها هستند (شکل‌های ۶ پ و ت). غنی شدگی از LILE‌ها و LREE‌ها و تهی شدگی از HREE‌ها در این الگو می‌تواند نشانگر نرخ کم ذوب، گریزندگی بالای $\text{CO}_2/\text{H}_2\text{O}$ و یا عمق زیاد تشکیل magma مولد سنگ‌های گرانیتی و تراکیتی باشد [۲۳] گفتنی است که شب نمودار عنکبوتی عناصر خاکی نادر نزولی شدید نیست و تهی شدگی شدید از HREE‌ها دیده نمی‌شود.

مورد بررسی خاستگاه گوشه‌ای در نظر گرفت که با درجه‌های کم تا متوسطی از پوسته قاره‌ای آلایش یافته و طی مراحل ریفتی و کشش اولیه پوسته قاره‌ای ظاهر می‌شوند.

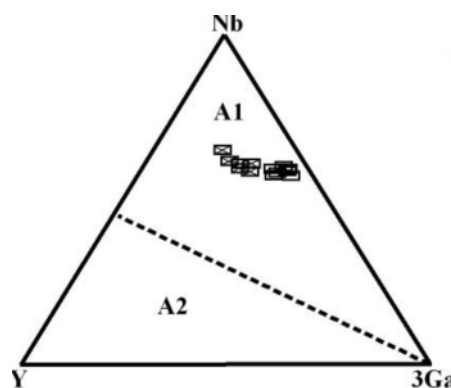
تعیین محیط زمین‌ساختی سنگ‌ها می‌تواند در تفسیر سنگ‌زایی آنها کمک بسیاری باشد. برای تعیین محیط زمین‌ساختی نمونه‌های گرانیتی و تراکیتی منطقه از نمودار سه وجهی $Rb/30-Hf-3Ta$ (شکل ۹) و نمودار دوتایی Nb نسبت به Y (شکل ۹ ب) استفاده شد. بر این اساس، نمونه‌های مورد بررسی در گستره درون صفحه‌ای (WP) واقع هستند.

برای تعیین محیط زمین‌ساختی سنگ‌های مافیک منطقه مورد بررسی از نمودار دوتایی Zr نسبت به Ti [۲۷] (شکل ۱۰) و نمودار Nb/Yb نسبت به TiO_2/Yb [۲۸] (شکل ۱۰ ب) استفاده شد که جایگاه پشتنهای میان اقیانوسی نوع مورب غنی شده (EMORB) برای سنگ‌های مافیک منطقه برداشت می‌شود.

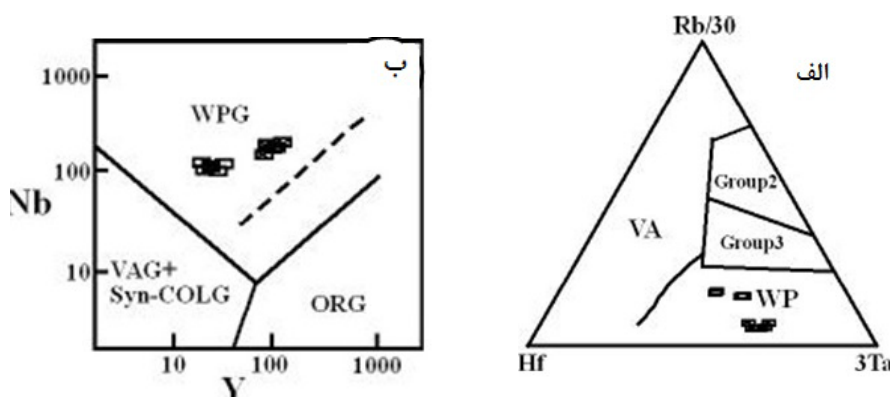
گرانیت‌وئیدی، می‌توان گفت که سنگ‌های گرانیتی و تراکیتی منطقه از نوع گرانیت‌وئیدهای نوع A هستند (غنی بودن از Zr و $Na+K$ و فقیر بودن از Ca، فراوانی بافت‌های پرتیتی، گرانوفیری و فراوانی زبرکن). در این راستا از نمودارهای تفکیک انواع مختلف گرانیت‌وئیدها استفاده شد که همه نوع A این گرانیت‌وئیدها را تأیید می‌کنند (شکل ۷)، براساس نمودارهای Na_2O+K_2O دوتایی FeO/MgO نسبت به $1000^*Ga/Al$ و $1000^*Ga/Al$ نسبت به $1000^*Ga/Al$ [۲۴]، سنگ‌های گرانیتی و تراکیتی $Nb-Y-3Ga$ در گستره A واقع هستند. با استفاده از نمودار مثلثی A_1-A_2-3Ga [۲۵] که برای تفکیک دو زیر گروه از گرانیت‌های نوع A طراحی شده است، مشخص می‌شود که سنگ‌های مورد بررسی در زیر گروه A_1 قرار دارند (شکل ۸). زیر گروه A_1 خاستگاه گوشه‌ای دارد (می‌تواند با درجه‌های زیاد یا کم پوسته قاره‌ای آلوده شده باشد) و طی فعالیت مagmaی درون صفحه‌ای و یا در جایگاه زمین‌ساختی کافت‌های درون قاره‌ای تشکیل می‌شوند. از این رو می‌توان برای سنگ‌های گرانیتی و تراکیتی منطقه



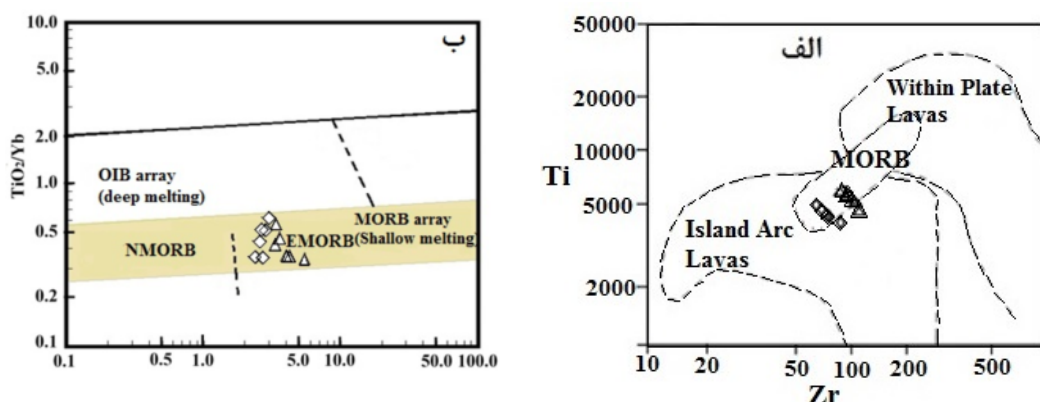
شکل ۷ نمودارهای دوتایی (الف) FeO/MgO نسبت به $1000^*Ga/Al$ و (ب) Na_2O+K_2O نسبت به $1000^*Ga/Al$ و جایگاه نمونه‌های مورد بررسی بر آنها [۲۴] (نشانه‌ها مانند شکل ۴)



شکل ۸ تفکیک سنگ‌های گرانیتی و تراکیتی منطقه به زیر گروههای A_1 و A_2 و جایگاه نمونه‌های مورد بررسی بر آن [۲۵] (نشانه‌ها مانند شکل ۴).



شکل ۹ الف) نمودار Rb/30-Hf-3Ta برای تفکیک محیط زمین ساختی سنگ‌های مورد بررسی [۲۶] و ب) نمودار Nb/Y [۲۲] و جایگاه نمونه‌های مورد بررسی بر آن. (نشانه‌ها مانند شکل ۴).



شکل ۱۰ الف) نمودار دوتایی Zr نسبت به Ti برای تفکیک محیط زمین ساختی سنگ‌های مورد بررسی [۲۷] و ب) نمودار Nb/Yb نسبت به TiO₂/Yb [۲۸] و جایگاه نمونه‌های مورد بررسی بر آن. (نشانه‌ها مانند شکل ۴).

شوند. هماهنگی این دو مجموعه سنگی و ارتباط آنها با تشکیل اقیانوس پالئوتیس دوم در شمال ایران تاییدی بر ارتباط زایشی آنها با مجموعه‌های افیولیتی وابسته به سنگ کره اقیانوسی پالئوتیس دوم هستند، به طوری که این رخنمون‌ها نشانگر مراحل آغازین گشایش پالئوتیس دوم در شمال ایران هستند.

قدرتانی

این پژوهش در قالب طرح پژوهشی مصوب در دانشگاه محقق اردبیلی و با حمایت مالی این دانشگاه انجام شده است که از حمایت‌های مالی معاونت محترم پژوهشی این دانشگاه قدردانی می‌شود.

مراجع

- [1] Alavi M., "Sedimentary and structural characteristics of the paleo-Tethys remnants in

برداشت

بررسی‌های زمین شیمیائی سنگ‌های بازالتی و گابرویی پنجره زمین ساختی سوسه‌باب- ترازوچ نشان می‌دهد که این مجموعه مافیک در پیوند با فعالیت ماقمایی غیر وابسته به محیط‌های فرورانشی و بیشتر در ارتباط با فعالیت ماقمایی مناطق زاینده و با سرشت E-MORB هستند. این ویژگی به همراه غنی شدگی از LREE‌ها نسبت به HREE‌ها و ناهنجاری مثبت LILE‌ها که شاهدی بر نرخ ذوب اندک گوشه‌ای در خاستگاه این سنگ‌هاست، پیشنهاد می‌کند که این سنگ‌ها به عنوان بخشی از فعالیت شکاف وسط اقیانوسی پالئوتیس دوم هنگام گذر از مرحله کافته به تشکیل سنگ کره اقیانوسی در نظر گرفته شوند. گرانیتوئیدها و فوران‌های تراکیتی همراه این مجموعه نیز وابسته به انواع غیر کوهزاد و زیر گروه A₁ هستند که در محیط‌های کافته و از خاستگاه گوشه‌ای تشکیل می-

- [13] Cox K. G., Bell J. D., Pakhurst R. J., "The interpretation of igneous rocks", London, Allen and Unwin (1979) 450.
- [14] Middlemost E. A. K., "Naming material in the magma - igneous rock system", Earth Sciences Reviews 31 (1994) 73-87.
- [15] Pearce J. A., "Role of the sub-continental lithosphere in magma genesis at active continental margin. In Hawkesworth, C. J. and Norry, M. J. (eds), Continental basalt and mantle xenoliths", Shiva Nantwich (1983) 23-249.
- [16] Thompson R. N., "An assessment of the relative roles of a crust and mantle in magma genesis: an elemental approach, Phil Transv", Soc. Lond 310 (1982) 549-590.
- [17] Mc Donough W. F., Sun S. S., "The composition of the Earth", Chemical Geology 120 (1995) 223-253.
- [18] Kamber B. S., Ewart A., Collerson K. D., Bruce M. C., McDonald G. D., "Fluid-mobile trace element constraints on the role of slab melting and implications for Archaean crustal growth models", Contributions to Mineralogy and Petrology 144 (2002) 38-56.
- [19] Borisova A. Y., Belyaskty B. V., Portnyagin M. V., "Petrogenesis of olivine-phyric basalts from the Aphanasey Nikitin rise: Evidence for contamination by cratonic lower continental crust", Journal of Petrology, Vol. 42. Num 2 (2001) 277-316.
- [20] Srivastava R. K., Singh R. K., "Trace element geochemistry and genesis of Precambrian subalkaline mafic dykes from the central Indian craton: evidence for mantle metasomatism", Journal of Asian Earth sciences 23 (2004) 373-389.
- [21] Boynton W. V., "Geochemistry of the rare earth elements: meteorite studies, In: Henderson P., (Ed.), Rare Earth Element Geochemistry", Elsevier (1984) 63-114.
- [22] Pearce J., Harris N. G., Tindle A., "Trace element discrimination diagrams for the tectonic interpretation of granitic rocks", Journal of Petrology 25 (1984) 956-983.
- [23] Panter H. S., Hart S. R., Kyle Ph., Blusztajn J., Wilch T., "Geochemistry of late Cenozoic basalts from the Cray mountains: characterization of mantle sources in Marie Byrd Land, Antarctica", Chemical Geology 165 (2000) 215-241.
- northeastern Iran", Geological Society of America Bulletin 103 (1991) 983-992.*
- [2] Stampfli G. M., "Etude géologique générale de l'Elborz oriental au sud de Gonbad-e-Qabus, Iran, NE". These Geneve, (1978), 329pp.
- [3] Stampfli G.M., Borel G.D., "A plate tectonic model for the Paleozoic and Mesozoic constrained by dynamic plate boundaries and restored synthetic oceanic isochrones", Earth and Planetary Science Letters, 196 (2002) 17-33.
- [4] Golonka J., "Plate tectonic evolution of the southern margin of Eurasia in the Mesozoic and Cenozoic", Tectonophysics, 381 (2004) 235-273.
- [5] Eftekharnejad J., Asadian A., Rastgarmizaei A., "Age of the Asalem-Shanderman metamorphic assemblage and ophiolites and their geodynamic relationship with the Paleo-tethys and the Caspian-like oceanic crust", 3 (1373) 36-43.
- [6] Moayyed M., Modjarad m., "The development of the second Paleo-tethys ocean in Iran", 11th Iranian Geological Society Conference, Ferdowsi University of Mashhad, (1386).
- [7] Zanchi A., Berra F., Mattei M., Ghassemi R.M., Sabouri J., "Inversion tectonics in central Alborz, Iran", Journal of Structural Geology, 28 (2006) 2023-2037.
- [8] Zanchetta S., Zanchi A., Villa I., Poli S., Muttoni G., "The Shanderman eclogites: a Late Carboniferous high-pressure event in the NW Talesh Mountains (NW Iran)", Geological Society, London, Special Publications 312 (2009) 57-78.
- [9] Omrani H., Moayyed M., Oberhansli R., Bousquet R., Tsujimori T., "Geochemistry of Shanderman eclogites and their protolith nature", Iranian Journal of Crystallography and Mineralogy, 89 (2010) 431-444.
- [10] Stocklin J., "Structural correlation of the Alpine ranges between Iran and central Asia", Memoir Hors serie de la Societe Geologique de France, No 8 (1977) 333-335.
- [11] Moayyed M., "Petrological investigation of Tertiary volcano-plutonic tape of west Alborz-Azerbaijan with special view on Hashtjin area", PhD thesis of Shahid Beheshti University, (1380) 328.
- [12] Whitney D. L., Evans B. W., "Abbreviations for names of rock-forming minerals", American Mineralogist, V. 95 (2010) 185-187.

- "magmatism", In: Coward M. P., Reis A. C., (ed), Collision tectonics. Spec. Publ. Geol. Soc., 19 (1986) 67-81.
- [27] Pearce J. A., "Trace element characteristics of lavas from destructive plate boundaries", In: Andesites (eds), Wiley Chichester (1982) 525-548.
- [28] Pearce J., "Sources and settings of granitic rocks", Episodes, 19 (2008) 120-125.
- [24] Whalen J. B., Currie K. L., Chappell B. W., "A-type granites: geochemical characteristics, discrimination and petrogenesis", Contributions to Mineralogy and Petrology 95(4) (1987) 407-419.
- [25] Eby G. N., "Chemical subdivision of the A-type granitoids: Petrogenetic and tectonic implications", Geology 20(7) (1992) 641-644.
- [26] Harris N. B. W., Pearce J. A., Tindle A. G., "Geochemical characteristics of collision – zone